

微凝胶电泳法检测照射后单个凋落胸腺细胞的DNA变化

耿勇志

(苏州医学院医学放射生物学教研室, 苏州 215007)

大山ハルミ 山田武

(日本放射线医学综合研究所, 千叶)

提 要

胸腺细胞受照后发生凋落——一种与坏死不同的主动性细胞死亡。为了检测单个凋落细胞的DNA变化，我们建立了微凝胶电泳法。受照的大鼠胸腺细胞培养后用本法进行电泳，结果可见细胞被分为二群，一群细胞的DNA几乎没有泳动，另一群细胞的DNA则泳动成大小相似的水滴或彗星形状。DNA泳动细胞的比例与细胞死亡的比例一致。实验说明凋落细胞的DNA分解十分迅速，一旦开始就很快达到一定程度。

关键词 凋落, 胸腺细胞, DNA 分解, 微凝胶电泳, 照射

近年来细胞死亡被分为坏死(necrosis)和凋落(apoptosis)二类^[1,2]。坏死是由各种病理因素引起的被动性细胞死亡，常累及组织中的大片细胞。凋落也称为程序性细胞死亡(programmed cell death)，多为生理性细胞死亡，可由生理性及病理性因素引起，组织中散在发生。凋落可发生在胚胎发育、肿瘤生长、激素依赖性萎缩、电离辐射等情况下，是一种主动的自杀现象，与细胞分裂增殖一起，共同对组织的大小与形状起着调节作用^[1-3]。凋落过程中一个特征性的生化改变是染色质DNA分解成以核小体(nucleosome)为单位的寡核小体片段^[4,5]。以往的实验都是从细胞群中提取了DNA后进行电泳来检测DNA变化的，而单个细胞的DNA是怎样变化的还不清楚。本实验建立了可以检测单个细胞DNA变化的微凝胶电泳法，对受照的大鼠胸腺细胞进行了研究，得到了一些有意义的结果，现报告如下。

1 材料与方法

1.1 大鼠胸腺细胞制备、照射及培养

4个月左右的雄性Wistar大鼠，乙醚麻醉活杀，立即取出胸腺，用Krebs-Ringer磷酸缓

冲液(KRP)制成单细胞悬液，细胞浓度 $10^8/ml$ ，0℃下接受X线照射，剂量率1Gy/min，然后加葡萄糖(最终浓度10mmol/L)37℃培养一定时间，方法参见有关文献^[6]，或细胞悬于RPMI1640培养液中，X线照后37℃培养一定时间，然后置于0℃环境。

1.2 微凝胶电泳

1.2.1 琼脂糖准备

小管内加低熔点琼脂糖(Sigma)60mg和154mmol/L NaCl 1ml，70℃干浴至琼脂糖融化，转移到40℃干浴，保持液状。

1.2.2 凝胶样本制备

用KRP稀释细胞到 $10^7/ml$ ，水浴到37℃，1份细胞悬液与2份液状琼脂糖混匀，取15μl滴到载玻片(26mm×70mm)上，盖上盖玻片(24mm×40mm)，轻压使其扩展为24mm×26mm的单细胞薄层，置4℃10min变为凝胶样本。轻轻揭除盖玻片，加300μl溶胞液(含0.5%十二烷基肌氨酸钠、1μg/ml蛋白酶K，10mmol/L pH7.4 Tris，10mmol/L pH8.0 EDTA，154mmol/L NaCl)置4℃5min，用TAE

缓冲液(40mmol/L 醋酸 Tris-1mmol/L EDTA)洗去溶胞液.

1. 2. 3 电泳、镜检

将样本水平放到电泳仪(MUPID-2, Cosmo, 日本)中, 加TAE缓冲液使之浸过样本, 4℃下电泳4min(电压50V). 取出样本, 滴加200μl二盐酸-4', 6-二脒基-2-苯吲哚(DAPI, 一种对DNA特异的荧光染剂)染液(含DAPI 0.25μg/ml, 盐酸疏基乙胺50mmol/L, 10mmol/L Tris, 10mmol/L EDTA, 100mmol/L NaCl), 5min后用盖玻片盖上, 在荧光显微镜(Olympus)下观察及拍照.

1. 3 藻红B排除实验

细胞的死活由藻红B排除法^[7]确定, 即0.02%藻红B(用KRP配制)1ml中, 加10⁸/ml的细胞悬液10μl, 取一点转移到血细胞计数板上, 静置1min, 光镜下观察, 红染的细胞为死细胞, 未着色的细胞为活细胞.

2 结 果

2. 1 细胞微凝胶电泳图象

经10Gy X线照射并培养4h的细胞电泳后, 细胞明显地分为二群(图1a): 一群细胞的DNA泳动很少; 另一群细胞则泳动成大小相近的水滴或彗星状, 即少部分DNA残留在原点, 大部分分解的DNA泳动形成尾部. 几乎不见介于二群之间的细胞. 未照射也未培养的对照细胞中, DNA泳动的细胞极少, 比例少于1%(图1b). 在底片上测量DNA泳动的长度(从头到尾全长), 画出泳动长度的分布直方图(图2), 可见受照细胞的DNA泳动长度分布有2个峰, 与上述细胞的2群相对应.

2. 2 照后不同培养时间的影响

细胞10Gy照后培养1—4h, 存活细胞(藻红B排除法)逐渐减少, 微凝胶电泳后正常细胞也逐渐减少, DNA泳动细胞增加, 与藻红法相比, 二者比例基本一致, 各时间点上无显著差异(图3). 受照细胞如不培养, DNA泳动细胞的比例就很低, 低于1%, 与对照细胞一样. 照后培养于RPMI1640的细胞电泳后, DNA

分解的细胞比例高于照后培养于KRP中的细胞, 照后2, 3, 4h三点上二者差异显著($P < 0.05$ 或 0.01)(图3). 照后不同时间DNA分解细胞的比例不同, 但DNA泳动图形的大小和形状仍然一致.

2. 3 剂量效应关系

随着照射剂量的增大, 电泳后可见DNA分解的细胞比例增多, 图4为细胞0.5—8Gy X线照射后培养于RPMI1640中4h, 电泳后正常细胞的比例. 0.5Gy照射后正常细胞比例就明显下降, 与对照相比差异显著($P < 0.01$). 不同剂量条件下DNA分解细胞的DNA泳动形状和大小仍然一致.

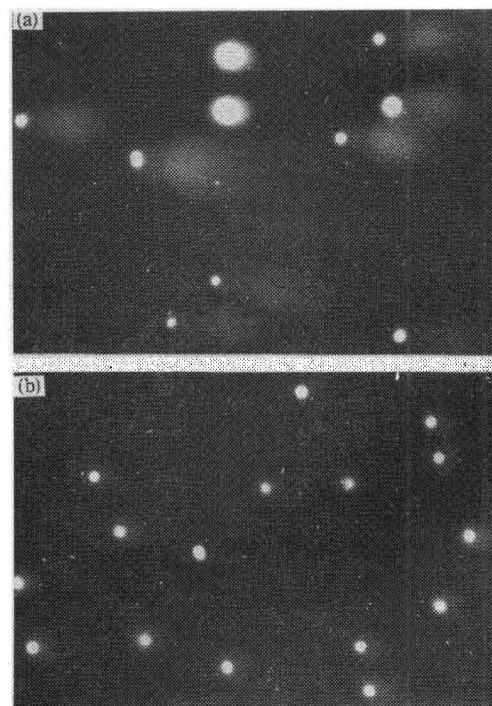


图1 大鼠胸腺细胞微凝胶电泳图象

- a 10Gy 照后培养4h的细胞
- b 未培养的正常对照细胞

3 讨 论

胸腺细胞受照后发生的间期死亡被认为就是凋落, 凋落细胞的比例与照后培养时间及照射剂量有关^[2,8]. 本实验受照样本中DNA泳动细胞的比例随培养时间的延长而增加, 与细胞死亡即凋落的比例一致(图3), 说明只有凋落

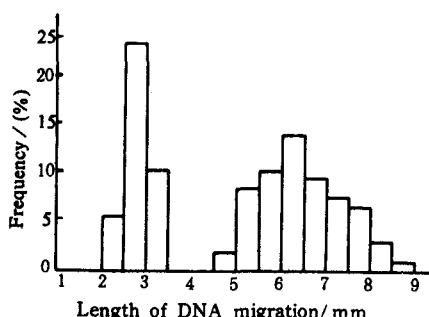


图2 10Gy 照后培养4h的细胞的DNA泳动长度分布直方图

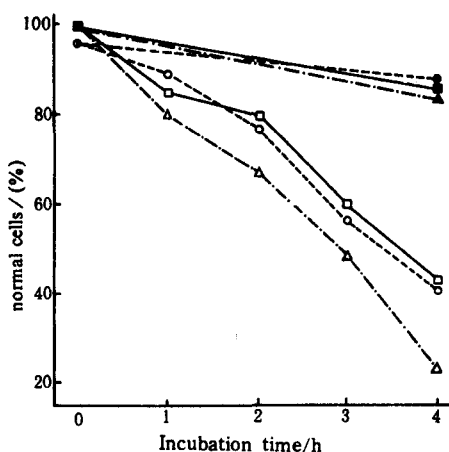


图3 10Gy 照后不同时间微凝胶电泳法和藻红法检测的正常细胞比例
 ■—对照和□—受照细胞培养于KRP, 微凝胶电泳法
 ●—对照和○—受照细胞培养于KRP, 藻红法
 ▲—对照和△—受照细胞培养于RPMI1640, 微凝胶电泳法

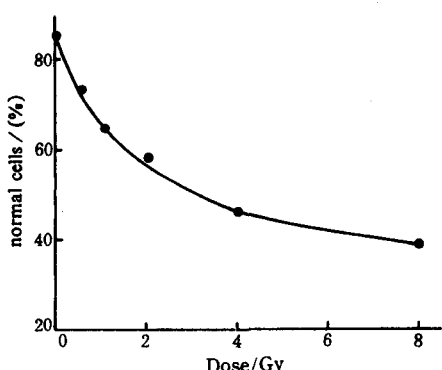


图4 胸腺细胞微凝胶电泳的剂量效应关系

的细胞才发生这种DNA分解。DNA分解细胞

的比例也随照射剂量的增大而增多。但不管照后培养时间及照射剂量如何,微凝胶电泳后细胞都明显地分为二群,DNA分解细胞的泳动形状及大小相近,几乎不见介于二群之间的细胞,这说明细胞在凋落过程中DNA分解速度很快,一旦开始就迅速分解达到一定程度。

由图3可见,照射后未培养的细胞几乎不发生DNA分解,与对照细胞一样,而只有培养一段时间后才发生,说明这种分解不是由射线直线引起的,与照后即刻发生的DNA链断裂不同。一些学者证实凋落细胞的染色质DNA特征性地分解为以核小体(180bp)为单位的片段^[4,5],并认为这种分解是由核酸内切酶引起的,因为染色质DNA有组蛋白包绕,只有核小体与核小体之间连接部分的裸露DNA可以被核酸内切酶切断。最近Schwartzman发现凋落细胞内的核酸内切酶活性确实增高^[9],至于这种增高是通过什么机制引起的还不清楚。

许多实验发现细胞的凋落过程需要活跃的代谢活动,用蛋白质和RNA合成抑制剂处理细胞可以阻止细胞的凋落及DNA分解^[5,10]。本实验中照后用RPMI1640培养的细胞中DNA分解细胞的比例高于照后在KRP中培养的细胞,可能是由于前者营养较好而细胞代谢较活跃所致。

本实验建立的微凝胶电泳法,简便、省时、所需细胞量少,可检测单个细胞的DNA分解,为细胞凋落及DNA变化的研究提供了一个新方法。

参 考 文 献

- Kerr J F R, Wyllie A H, Currie A R. Apoptosis: A basic biological phenomenon with wide ranging implications in tissue kinetics. *Br J Cancer*, 1972; **26**: 239
- Yamada T and Ohyama H. Radiation-induced interphase death of rat thymocytes is internally programmed (apoptosis). *Int J Radiat Biol*, 1988; **53**: 65
- Wyllie A H. Apoptosis: Cell death in tissue regulation. *J Pathol*, 1987; **153**: 313
- Yamada T, Ohyama H, Kinjo Y et al. Evidence for the internucleosomal breakage of chromatin in rat thymocytes irradiated *in vitro*. *Radiat Res*, 1981; **85**: 544

- 5 Sellins Y S and Cohen J J. Hyperthermia induces apoptosis in thymocytes. *J Immunol*, 1987; **139**: 3199
- 6 Ohyama H and Yamada T. Reduction of rat thymocyte interphase death by hyperthermia. *Radiat Res*, 1980; **82**: 342
- 7 Phillips H J and Terryberry J E. Counting actively metabolizing tissue cultured cell. *Exp Cell Res*, 1957; **13**: 341
- 8 Ohyama H, Yamada T, Ohkawa A et al. Radiation-induced formation of apoptotic bodies in rat thymus. *Radiat Res*, 1985; **101**: 123
- 9 Schwartzman R A and Cidlowski J A. Internucleosomal deoxyribonucleic acid cleavage activity in apoptotic thymocytes; Detection and endocrine regulation. *Endocrinology*, 1991; **128**: 1190
- 10 Wyllie A H, Morris R G, Dunlop D. Chromatin cleavage in apoptosis; Association with condensed chromatin morphology and dependence on macromolecular synthesis. *J Pathol*, 1984; **142**: 67

放射受体法测定表皮生长因子

贺师鹏 黄天贵 黄力新

(北京医科大学生物物理教研室, 北京 100083)

郭淑英

(北京医科大学生理教研室, 北京 100083)

提 要

介绍用大鼠肝细胞膜为材料 EGF 放射受体分析方法。 ^{125}I -EGF 采用 Iodogen 方法, 其标记率为 50% 左右, ^{125}I -EGF 对受体的结合率为 20—30%。大鼠肝细胞膜 EGF 放射受体法的灵敏度为 28pg/管, 精密度为 6.3%。应用此法测定了大鼠血清, 领下腺和唾液中的 EGF 的含量。

关键词 EGF, 放射受体分析, Iodogen

表皮生长因子(EGF)是分子量为 6405 的小分子多肽, 它能刺激许多类细胞的增殖, 而且能影响细胞分化, 促进细胞内外离子交换, 增加氨基酸和葡萄糖运转, 加速蛋白质和 DNA 合成。因此, EGF 具有广泛的生物学作用。它在肿瘤生物学和胚胎发育等领域的研究中具有突出的地位。

在从事 EGF 的生物学研究中, 需要建立灵敏度高、特异性强、操作简便的测定体液和组织内 EGF 含量的方法。Cohen 等人^[1]首先建立了 EGF 的放射免疫分析, 其标准曲线的范围为 0.03—4ng。稍后 Carpenter 等人^[2]建立了以纤维母细胞为材料的 EGF 放射受体分析, 其标准曲线的工作范围为 1—100ng/ml, 灵敏度较低。我们以大鼠肝细胞膜为材料建立了 EGF 放射受体分析。标准曲线的工作范围为 0.03—3ng,

灵敏度为 28pg/管, 达到放免分析相同的灵敏度, 方法的稳定性良好。利用它测定了各种组织中的 EGF 含量, 得到相当满意的结果。

1 材料和方法

1. 1 材料

表皮生长因子: EGF 标准品购自美国 Sigma Chemical Co. Na ^{125}I : 购自中国科学院原子能研究所。Tris-HCl 缓冲液: 50mmol/L Tris-HCl pH7.4 + 1mmol/L EDTA + 1mmol/L EGTA. Beckman5500γ 计数器。

1. 2 方法

1. 2. 1 ^{125}I -EGF 制备 1mg Iodogen 溶于 1ml 二氯甲烷, 每反应瓶取 20μg, 室温真空